

# 敞口薄壁圆筒形构筑物 水压爆破药量计算

范喜生 徐天瑞

(冶金部安全环保研究院 武汉 430081)

**摘要** 从理论上对水压爆破的载荷、结构的动力响应、水压爆破的机理与药量计算等问题进行了分析,所得结果可直接用于工程实践。

**关键词** 水中冲击波 动力响应 拆除爆破

**中图分类号** TD235.36

水压爆破是构筑物拆除爆破中常用的一种方法。虽然已经进行过大量的工程爆破实践,但关于水压爆破的研究<sup>[1,2,3,4,5]</sup>还远未达到令人满意的程度。如文献[1]的实验工作没有考虑  $\delta/A$  的影响;文献[2]纯属经验公式,根本不符合量纲原理;文献[3,4,5]均假设载荷沿高度均布等。另一方面,上述研究结果<sup>[2,3,4,5]</sup>均带有变化范围较大的经验系数,给公式的应用带来不便。

本文试图在文献[1]试验工作的基础上,以典型的水压爆破为例,从理论上较系统地研究水压爆破问题,为水压爆破的进一步研究开辟方向。

## 1 水压爆破的载荷

水压爆破时,水中爆炸发生在有限水域,难以形成气泡脉动。水压爆破的载荷主要来自水中冲击波及其滞后流的动压。

装药一定时,随着距装药距离的增大,冲击波的作用越来越小,而动压的作用越来越大(两者相对而言)。因此,水压爆破的载荷与  $\delta/R$  有关。 $\delta/R$  越小,动压的作用越明显,冲击波的作用则相对变弱。通常  $\delta/R$  不是很小。水压爆破的载荷主要来自水中冲击波的反射压力,而滞后流只是起到进一步破碎的作用<sup>[6]</sup>。作者主要考虑这种情况,即  $\delta/R$  不是很小(如  $\delta/R \geq 0.01$ )的薄壳问题。

球面冲击波在圆柱形内表面上的反射问题没有解析解。精确确定壁面上的压力及冲量分布只能采用数值计算或试验测量<sup>[7]</sup>。为了估算构筑物内壁上的压力或冲量,可将球面冲击波局部视为平面波,按平面冲击波的斜反射理论,近似求解水压爆破的载荷问题。

水压爆破时,入射冲击波压力峰值通常小于100MPa,属弱冲击波,入射角通常小于75°,冲击波反射属正规斜反射,可用声学理论近似。

水压爆破时,冲击波在底板和自由面(水面)的反射对壁面上的压力分布有较大影响<sup>[6,7]</sup>。但对文献[6]的试验数据分析发现,压力作用时间与构筑物自振基频圆频率的乘积仍小于 0.4(底板的存在使得作用时间增长)。因此,可以认为水压爆破的载荷为冲量载荷。由几何声学理论求得距底板高度  $\alpha(=x/R)$  处(图 1)的冲量为<sup>[8]</sup>,

$$i = 2lQ^{1/3}(Q^{1/4}/R)^m f(\alpha) \quad (1)$$

式中: $i$  为比冲量,  $\text{Pa} \cdot \text{s}$ ;  $Q$  为装药量,  $\text{kg}$ ;  $l, m$  为与装药种类有关的经验系数,对密度为  $1.52\text{g}/\text{cm}^3$  的 TNT 炸药,  $l$  取 5768,  $m$  取 0.89;  $R$  为几何参数,  $\text{m}$ ; 而

$$f(\alpha) = [1 + (\alpha - \frac{h_0}{R})^2]^{-(1+\frac{m}{2})} + [1 + (\alpha + \frac{h_0}{R})^2]^{-(1+\frac{m}{2})} - [1 + (\alpha - \frac{2H - h_0}{R})^2]^{-(1+\frac{m}{2})} \quad (2)$$

式中: $h_0, H$  为几何参数,  $\text{m}$ 。

实践中,一般取  $h_0/R = H/3R$ , 则式(2)简化成

$$f(\alpha) = [1 + (\alpha - \frac{1}{3} \frac{H}{R})^2]^{-(1+\frac{m}{2})} + [1 + (\alpha + \frac{1}{3} \frac{H}{R})^2]^{-(1+\frac{m}{2})} - [1 + (\alpha - \frac{5}{3} \frac{H}{R})^2]^{-(1+\frac{m}{2})} \quad (3)$$

## 2 结构物的动力响应

按  $\delta/R$  的大小,通常将圆柱壳粗略分成薄壳与厚壳两种。当  $\delta/R < 0.2$  时为薄壳,  $\delta/R > 0.2$  为厚壳。本文仅考虑薄壳的情形。这种情况比较简单,因在载荷持续时间内,构筑物壁面内的应力波已来回反射多次,不必考虑固体中应力波的传播,只需考虑结构对外部载荷的动力响应。

显然,问题是轴对称的,且环向位移为零,轴向位移与径向位移都比较小,为避免数学上的麻烦,假设轴向位移为零。则径向位移  $w$  满足下述偏微分方程及初、边值条件<sup>[9]</sup>:

$$\frac{1 - \mu^2}{E} \rho R^2 \frac{\partial^2 w}{\partial t^2} + c^2 \frac{\partial^4 w}{\partial \alpha^4} + w = 0 \quad (4)$$

$$w|_{\alpha=0} = \frac{\partial w}{\partial \alpha}|_{\alpha=0} = \frac{\partial^2 w}{\partial \alpha^2}|_{\alpha=H/A} = \frac{\partial^3 w}{\partial \alpha^3}|_{\alpha=H/R} = 0 \quad (5)$$

$$w|_{t=0} = 0 \quad (6)$$

$$\frac{\partial w}{\partial t}|_{t=0} = \frac{t}{\delta \rho} \quad (7)$$

式中: $\mu, E$  和  $\rho$  分别为构筑物材料的泊松比,弹性模量和密度。泊松比无量纲;弹模单位  $\text{Pa}$ ;密度单位  $\text{kg}/\text{m}^3$ 。对混凝土,可取  $\mu = 0.15, E = 2.5 \times 10^{10} \text{Pa}, \rho = 2300 \text{kg}/\text{m}^3$ ;  $w$  为位移,  $\text{m}$ ;  $t$  为时间,  $\text{s}$ ;  $\delta, H$  为几何尺寸,  $\text{m}$ ;  $c^2 = \delta^2/12R^2$ 。

用分离变量法求解初边值问题(4)~(7)式。

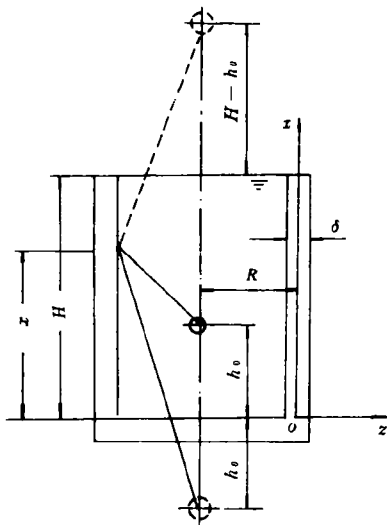


图 1  
Fig. 1

令

$$w = \varphi(\alpha)T(t) \quad (8)$$

代入(4)式,得

$$c^2 \frac{d^4 \varphi}{d\alpha^4} = - \frac{1 - \mu^2}{E} \rho R^2 \frac{d^2 T}{dt^2} - 1 = \lambda^2$$

即

$$c^2 \frac{d^4 \varphi}{d\alpha^4} - \lambda^2 \varphi = 0 \quad (9)$$

$$\frac{1 - \mu^2}{E} \rho R^2 \frac{d^2 T}{dt^2} + (1 + \lambda^2)T = 0 \quad (10)$$

令

$$\left(\frac{\lambda}{c}\right)^2 = \left(\frac{\nu}{H/R}\right)^4 \quad (11)$$

则式(7)变为

$$\frac{d^4 \varphi}{d\alpha^4} - \left(\frac{\nu}{H/R}\right)^4 \varphi = 0 \quad (12)$$

其解为

$$\varphi = a \sin \frac{\nu \alpha}{H/R} + b \cos \frac{\nu \alpha}{H/R} + c \operatorname{sh} \frac{\nu \alpha}{H/R} + d \operatorname{ch} \frac{\nu \alpha}{H/R} \quad (13)$$

利用边界条件(5)式可得方程组

$$\begin{bmatrix} 0 & 1 & 0 & 1 \\ 1 & 0 & 1 & 0 \\ -\sin \nu & -\cos \nu & \operatorname{sh} \nu & \operatorname{ch} \nu \\ -\cos \nu & \sin \nu & \operatorname{ch} \nu & \operatorname{sh} \nu \end{bmatrix} \begin{bmatrix} a \\ b \\ c \\ d \end{bmatrix} = \begin{bmatrix} 0 \\ 0 \\ 0 \\ 0 \end{bmatrix} \quad (14)$$

方程组(14)有非零解的必要条件,其系数行列式等于零。由此得  $\nu$  满足的方程为

$$\cos \nu \operatorname{ch} \nu = -1 \quad (15)$$

由方程(15)可确定  $\nu_n (n=1, 2, \dots)$ 。将  $\nu_n$  代入式(13)可求得  $\varphi_n$ , 代入式(11)可求得  $\lambda_n$ , 继而由方程(10)求得  $T_n$ ,

$$T_n = e_n \cos \omega_n t + f_n \sin \omega_n t \quad (16)$$

式中,  $e_n, f_n$  为待定系数,

$$\omega_n = \sqrt{\frac{1 + c^2 \left(\frac{\nu_n}{H/R}\right)^4}{\frac{1 - \mu^2}{E} \rho R^2}} \quad (17)$$

由方程组(14)可确定  $a, b, c, d$  之比为  $a:b:c:d = 1: -\frac{\sin \nu + \operatorname{sh} \nu}{\cos \nu + \operatorname{ch} \nu}: -1: \frac{\sin \nu + \operatorname{sh} \nu}{\cos \nu + \operatorname{ch} \nu}$ 。由于振型(13)式的正交性<sup>[9]</sup>, 可将圆筒的振动按振型展开, 即有

$$w(\alpha, t) = \sum_{n=1}^{\infty} \varphi_n(\alpha) T_n(t) = \sum_{n=1}^{\infty} \left( \sin \frac{\nu_n \alpha}{H/R} - \frac{\sin \nu_n + \operatorname{sh} \nu_n}{\cos \nu_n + \operatorname{ch} \nu_n} \cos \frac{\nu_n \alpha}{H/R} - \operatorname{sh} \frac{\nu_n \alpha}{H/R} + \frac{\sin \nu_n + \operatorname{sh} \nu_n}{\cos \nu_n + \operatorname{ch} \nu_n} \cos \frac{\nu_n \alpha}{H/R} \right) (E_n \cos \omega_n t + F_n \sin \omega_n t) \quad (18)$$

利用初始条件(6)、(7)式, 可确定  $E_n, F_n$ ,

$$E_n = 0, \quad (19)$$

$$F_n = \frac{\int_0^{H/R} \frac{i}{\delta \rho} \phi_n d\alpha}{\omega_n \int_0^{H/R} \phi_n^2 d\alpha} \quad (20)$$

代入式(18)可得  $w(\alpha, t)$  的最终表达式。

求得  $w$  即可按几何方程, 物理方程求内力及应力。求轴向应力为

$$\begin{aligned} \sigma_1|_{z=-\frac{\delta}{2}} &= \frac{E}{(1-\mu^2)R} (\mu w - \frac{\delta}{2R} \frac{\partial^2 w}{\partial \alpha^2}) \\ &= \frac{2lQ^{1/3}(Q^{1/3}/R)^m}{\delta} \sqrt{\frac{E}{(1-\mu^2)\rho}} \sum_{n=1}^{\infty} [\mu (\sin \frac{v_n \alpha}{H/R} - \frac{\sin v_n + \text{sh} v_n}{\cos v_n + \text{ch} v_n} \cos \frac{v_n \alpha}{H/R} \\ &\quad - \text{sh} \frac{v_n \alpha}{H/R} + \frac{\sin v_n + \text{sh} v_n}{\cos v_n + \text{ch} v_n} \text{ch} \frac{v_n \alpha}{H/R}) - \frac{\delta}{2R} (\frac{v_n}{H/R})^2 (-\sin \frac{v_n \alpha}{H/R} \\ &\quad + \frac{\sin v_n + \text{sh} v_n}{\cos v_n + \text{ch} v_n} \cos \frac{v_n \alpha}{H/A} - \text{sh} \frac{v_n \alpha}{H/A} + \frac{\sin v_n + \text{sh} v_n}{\cos v_n + \text{ch} v_n} \text{ch} \frac{v_n \alpha}{H/A})] \\ &\quad \times \frac{\int_0^{H/R} f(\alpha) \phi_n d\alpha}{\sqrt{1 + c^2 (\frac{v_n}{H/R})^4} \int_0^{H/R} \phi_n^2 d\alpha} \sin \omega_n t \end{aligned} \quad (21)$$

若记  $A_n = \frac{\sin v_n + \text{sh} v_n}{\cos v_n + \text{ch} v_n}$ , 则式(21)可简写为

$$\begin{aligned} \sigma_1|_{z=-\frac{\delta}{2}} &= \frac{2lQ^{1/3}(Q^{1/3}/R)^m}{\delta} \sqrt{\frac{E}{(1-\mu^2)\rho}} \sum_{n=1}^{\infty} \{ [\mu + (\frac{v_n}{H/R})^2 \frac{\delta}{2R}] (\sin \frac{v_n \alpha}{H/R} \\ &\quad - A_n \cos \frac{v_n \alpha}{H/R}) - [\mu - (\frac{v_n}{H/R})^2 \frac{\delta}{2R}] (\text{sh} \frac{v_n \alpha}{H/R} - A_n \text{ch} \frac{v_n \alpha}{H/R}) \} \\ &\quad \times \frac{\int_0^{H/R} f(\alpha) \phi_n d\alpha}{\sqrt{1 + c^2 (\frac{v_n}{H/R})^4} \int_0^{H/R} \phi_n^2 d\alpha} \sin \omega_n t \end{aligned} \quad (22)$$

### 3 水压爆破的机理与药量计算

水压爆破的构筑物多数是混凝土、钢筋混凝土等脆性材料。其力学特征是, 构筑物变形较小即发生破裂, 且直到破坏之前的过程均可采用弹性理论近似, 不必考虑塑性效应。

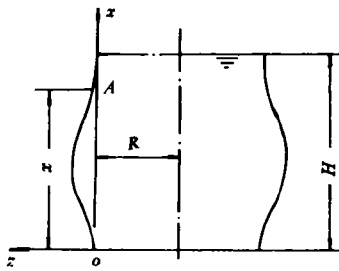


图2  
Fig. 2

由文献[1]所述试验发现, 水压爆破的破坏形态如图2所示, A点的内表面  $\sigma_1|_{z=-\frac{\delta}{2}}$  为正, 轴向受拉。

取  $\sigma_1|_{z=-\frac{\delta}{2}} = \sigma_b$  (混凝土抗拉强度极限) 利用式(22)反算药量, 发现与实验结果吻合很好。当  $x/H$  取值较小时药量较小,  $x/H$  取值较大时药量较大, 存在单个集中装药的上、下限问题<sup>[1]</sup>。

取  $\sigma_1|_{z=-\frac{\delta}{2}} = \sigma_b$ , 将有关参数代入式(22)作数值计算, 可将式(22)简化为下式( $Q$ 的最小值)

$$Q = B \delta^{1.587} R^{1.413} \quad (23)$$

式中的系数  $B$  见表1。

表1 公式  $Q=B\delta^{1.587}R^{1.413}$  系数表  
Table 1 Calculated coefficients of the formula(23)

| B           |       | $x/H$  |        |        |        |        |        |        |        |         |
|-------------|-------|--------|--------|--------|--------|--------|--------|--------|--------|---------|
|             |       | 0.5    |        |        | 0.7    |        |        | 0.9    |        |         |
| $\delta/R=$ | 2     | 4.149  | 6.549  | 9.336  | 6.148  | 9.705  | 13.835 | 16.434 | 25.942 | 36.981  |
|             | 3     | 7.822  | 12.348 | 17.602 | 12.522 | 19.766 | 28.177 | 28.195 | 44.508 | 63.447  |
| $H/R$       | 4     | 11.873 | 18.742 | 26.718 | 20.316 | 32.070 | 45.717 | 44.284 | 69.904 | 99.650  |
|             | 2     | 2.470  | 3.899  | 5.557  | 3.705  | 5.848  | 8.336  | 16.514 | 26.070 | 37.160  |
| 0.1         | 3     | 5.622  | 8.876  | 12.652 | 8.962  | 14.149 | 20.167 | 28.243 | 44.588 | 63.555  |
|             | $H/R$ | 4      | 9.522  | 15.033 | 21.428 | 16.101 | 25.419 | 36.232 | 44.384 | 70.069  |
| $\delta/R=$ | 2     | 1.222  | 1.930  | 2.751  | 1.856  | 2.930  | 4.176  | 16.655 | 26.293 | 37.478  |
|             | 3     | 3.394  | 5.358  | 7.637  | 5.832  | 8.496  | 12.111 | 28.388 | 44.817 | 63.881  |
| $H/R$       | 4     | 6.593  | 10.409 | 14.837 | 10.993 | 17.355 | 24.738 | 44.484 | 70.228 | 100.102 |

注:表中  $x/H$  分三级,即 0.5、0.7、0.9。每一级下又有三列,其中第一列系按  $\sigma_s=30\text{MPa}$  算得,第二列按  $\sigma_s=40\text{MPa}$  算得,第三列按  $\sigma_s=50\text{MPa}$  算得。没有考虑钢筋的影响。

由表1可见,系数  $B$  确与常用的经验系数<sup>[3]</sup>相当,证明计算结果的正确性。同时可看出,系数  $B$  不仅是破碎程度  $x/H$  的函数<sup>[3,4]</sup>,它与  $\delta/R$ 、 $H/R$  有关,即  $Q$  实质上与  $\delta$ 、 $R$  和  $H$  有关,与  $\delta$  和  $R$  的关系不是简单的  $\delta^{1.587}R^{1.413}$  关系<sup>[10]</sup>。

由表1可见, $x/H$  越大, $B$  越大; $H/R$  越大, $B$  越大;而  $\delta/R$  越大, $B$  反而越小。这一点应引起注意。事实上, $H/R$  和  $x/H$  一定时,虽然  $\delta/R$  越大, $B$  反而越小,但  $Q$  仍是越大。这可由表1数据进行验证。

需要时,可对表1中的数据进行插值或拟合处理。

#### 工程算例

笔者曾炸毁一批(计八根)钢筋混凝土下水管。截面形状为圆筒形,半径  $R=0.325\text{m}$ ,壁厚  $\delta=0.05\text{m}$ ,高  $H=1.5\text{m}$ , $H/R=4.6$ , $\delta/R\approx 0.15$ 。取  $x/H=0.5$ , $\sigma_s=30\text{MPa}$ ,利用表1数据进行作图,算得  $\delta/R=0.1$  时, $B=12$ , $\delta/R=0.2$  时, $B=10$ ,因此可取本问题的  $B=11$ ,利用式(23)求得的药量为  $19.4\text{g}$ ,实际装药量为  $20\text{gTNT}$ ,爆破效果与预期效果非常一致。

## 4 结束语

从工程实践方面看,水压爆破是简单高效的;从理论分析方面看,它又是比较复杂的。本文从理论上分析了敞口薄壁圆筒形构筑物的水压爆破问题,其结果既反映了破碎程度的影响,又反映了  $\delta/R$ 、 $H/R$  的影响,消除了以往公式的盲目性。

关于水压爆破,还有许多工作要做,如炸药种类、密度、颗粒度对水压爆破的影响;充水高度与装药位置问题;顶端密闭情形;厚壁问题;构筑物截面为非圆柱截面情形;多药包问题;偏炸技术等,都是值得进一步研究的。

本文在成文过程中得到中国科学院力学所许连坡研究员的指导,谨致谢意。

### 参 考 文 献

- 1 徐天瑞,范喜生. 水压爆破的药量计算. 爆破,1990,7(3):33
- 2 エギヨウ 火 ヤク キヨウ 会编. 爆 ハツ ハンドゲツオ. 山海堂:株式会社 ハツ 行,1976,298
- 3 杨人光,等. 建筑物爆破拆除. 北京:中国建筑工业出版社,1985. 第六章
- 4 王中黔,等. 水压爆破药量计算及其应用. 土岩爆破文集(第二辑),北京:冶金工业出版社,1985. 191~198
- 5 吴新霞. 圆筒形容器状构筑物水压控制爆破机理及药量公式. 爆炸与冲击,1988,8(2):106
- 6 张建华,严忠礼. 水压爆破测试结果的初步总结(私人通信). 中国科学院力学所,1984.
- 7 Thompson S T, Herrmann W. Eulerian Finite-Difference Calculations of Explosion in Partially Water-Filled Overstrong Cylindrical Containment Vessels, SAND-77-1342.
- 8 孙业斌,等. 爆炸作用与装药设计. 北京:国防工业出版社,1987. 第七章
- 9 科列涅夫 B Г. 等主编;沈聚敏,等译. 房屋与构筑物动力计算设计手册. 北京:科学出版社,1990. 第九章
- 10 许连坡. 关于爆破相似律的一些问题. 爆炸与冲击,1985,5(4):1

## SOME BASIC ASPECTS OF THE DESTRUCTION WORK UTILIZING UNDERWATER EXPLOSIONS (DWUWE)

Fan Xisheng Xu Tianrui

(*Safety and Environmental Protection Research Institute,  
Ministry of Metallurgy, Wuhan, 430081*)

**ABSTRACT** In this paper the loading of DWUWE, the response of structure, the mechanism of DWUWE and the weight of explosive are investigated theoretically. Some problems to be studied are proposed.

**KEY WORDS** underwater explosion, shock wave, response of structure, destruction work